

高フライアッシュコンクリートの圧縮強度と断熱温度上昇量

山口大学大学院 下松アサノコンクリート(株)	学生会員 正会員	○高橋昭裕 吉田和隆
山口大学大学院	学生会員	吉岡 慧
山口大学大学院	正会員	浜田純夫

1.はじめに

石炭火力発電設備の増加に伴い、副産物であるフライアッシュ（以下、FAと記す）の発生量も増加しており、FAの有効利用の拡大が必要とされている。そこで、水和熱抑制対策としてFAの大量利用が見込まれるマスコンクリートに着目し、規定量以上のFAをセメント置換した高フライアッシュコンクリート（以下、HVFAコンクリートと記す）の強度発現性状、断熱温度上昇量を明らかにし、その適用性について検討を行った。

2.実験概要

2.1 使用材料

セメントは、普通ポルトランドセメント（密度3.16g/cm³、比表面積3300cm²/g、以下、Nと記す）、早強ポルトランドセメント（密度3.14g/cm³、比表面積4523cm²/g、以下、Hと記す）を使用した。FAは、JIS A 6021のII種に相当するもの（密度2.40g/cm³、比表面積4230cm²/g）を使用した。

2.2 実験方法

HVFAコンクリートの練混ぜは、最大練混ぜ量50lのパン型強制練りミキサを使用し、目標スランプおよび目標空気量はそれぞれ12cm、2.0%とした。断熱温度上昇量試験の測定は1日の温度変化が認められなくなるまでの1週間としたため、圧縮強度試験は、Nを用いた場合は材齢7日、Hを用いた場合は3および7日で行った。また、コンクリートの断熱温度上昇試験は、発泡スチロールを使用した簡易的な断熱温度上昇測定法で行った。配合を表-1に示す。

2.3 配合

表-1中のN、Hはそれぞれセメントの種類を表す。A、B、C、Dはそれぞれの配合でFA無置換コンクリートにおける目標強度24、27、30、36N/mm²を表す。末尾の数字は、FAの容積置換率を表している。

表-1 コンクリート配合表

Notation	Ratio of Fly Ash by volume (%)	Water-Binder ratio W/B (%)	Weight per unit volume (kg/m ³)				
			Cement C	Fly Ash FA	Water W	Fine Aggregate S	Coarse Aggregate G
N-A-0	0	58	288	0			
N-A-40	40	65	173	84			
N-A-50	50	67	144	105	167	899	1015
N-A-60	60	69	116	126			
N-A-70	70	71	87	147			
N-B-0	0	53	318	0			
N-B-50	50	61	159	116	168	866	1022
N-B-60	60	63	127	139			
N-B-70	70	65	95	162			
N-C-0	0	50	339	0			
N-C-50	50	58	170	123	169	845	1022
N-C-60	60	60	136	148			
N-C-70	70	61	102	173			
N-D-0	0	44	390	0			
N-D-50	50	51	195	142	171	800	1020
N-D-60	60	52	156	170			
N-D-70	70	54	117	199			
H-A-0	0	58	286	0			
H-A-50	50	67	143	105	167	899	1015
H-A-70	70	72	86	147			
H-B-0	0	53	316	0			
H-B-50	50	61	159	116	168	866	1022
H-B-70	70	65	95	163			
H-C-0	0	50	337	0			
H-C-50	50	58	170	124	169	845	1022
H-C-70	70	61	102	174			
H-D-0	0	44	388	0			
H-D-50	50	51	195	143	171	800	1020
H-D-70	70	54	117	200			

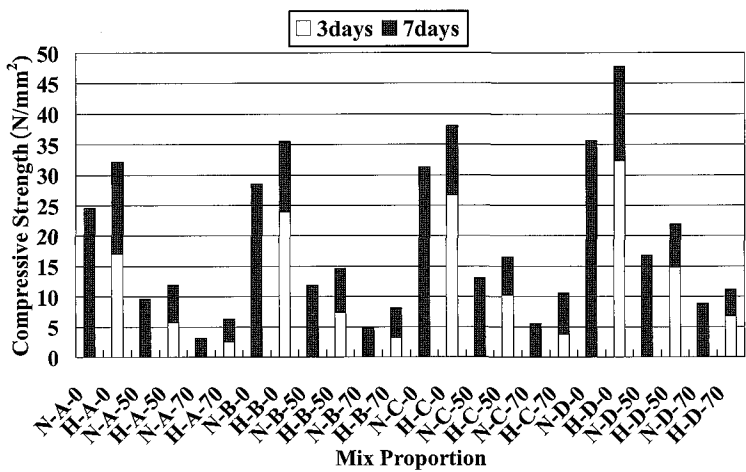


図-1 コンクリート配合と圧縮強度の関係

3. 強度発現性状

図-1 は N および H を用いたコンクリート配合と圧縮強度の関係を示す。N を用いたコンクリートの圧縮強度は FA の置換率が増加するにしたがい低下し、初期強度の低下が懸念された。H を用いたコンクリートは全ての配合において、材齢 7 日で N を用いた場合の圧縮強度より大きくなつた。このことより、H を用いたコンクリートは HVFA コンクリートの弱点である初期強度の低下を補う。したがつて、早期に脱型、品質管理が可能となり、実施工における工期の短縮につながる。

4. 断熱温度上昇量

熱損失特性の一例として、N-A-0 および N-A-70 を図-2 に示す。配合によって、HVFA コンクリートの温度降下勾配に大きな差はみられなかつた。この温度降下勾配を基に推定される熱損失量をコンクリートの実測温度に加算することで断熱温度上昇量を求めた。

図-3 に単位セメント量が同程度であり、単位 FA 量が異なる N-A-60 と N-D-70 の断熱温度上昇量を示す。両者の一週断熱温度上昇量はほぼ同程度の値となつた。このことから、一週断熱温度上昇量はセメントによる発熱に起因しており、FA 単体に発熱は見られない。

図-4 に一週断熱温度上昇量結果の一例として N-A-0、N-A-70 を示す。N-A-70 の終局断熱温度上昇量は N-A-0 と比較すると、大幅に低減した。H を用いた HVFA コンクリートの断熱温度上昇量についても同様の効果が見られた。実験値とコンクリート標準示方書 施工編に基づく推定値を比較すると、N-A-0 の一週断熱温度上昇量はほぼ同程度なのに対し、N-A-70 の一週断熱温度上昇量は推定値が実験値を上回つた。これは全ての HVFA コンクリートにおいて同様の傾向が見られた。FA 単体による発熱は見られることから、単位セメント量が 200kg/m³以下の配合のコンクリートの場合、断熱温度上昇量の推定にコンクリート標準示方書 施工編の実験定数は適用できない。そこで、本研究では、コンクリート標準示方書 施工編の推定式及び、実験より導かれた実験定数を用いることを提案する。この方法を用いることで、単位セメント量が 200kg/m³以下のコンクリート配合における断熱温度上昇量の推定が容易となる。

5. 結論

FA の大量に置換に伴う初期強度の低下は H を用いることにより改善される。また、HVFA コンクリートの断熱温度上昇量の推定には式（1）及び本研究より求まつた実験定数を用いることを提案する。

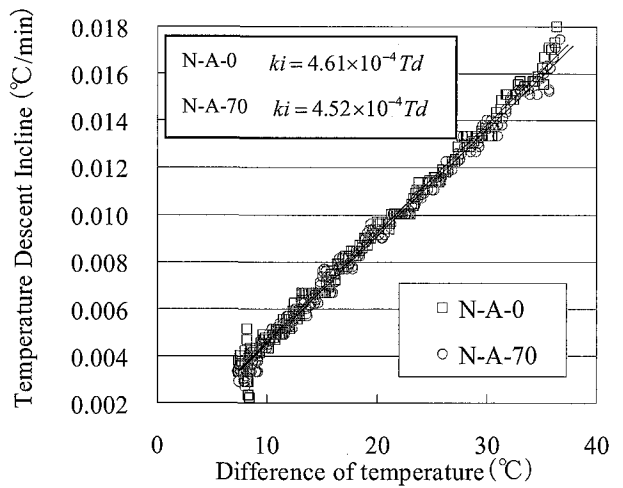


図-2 温度降下勾配

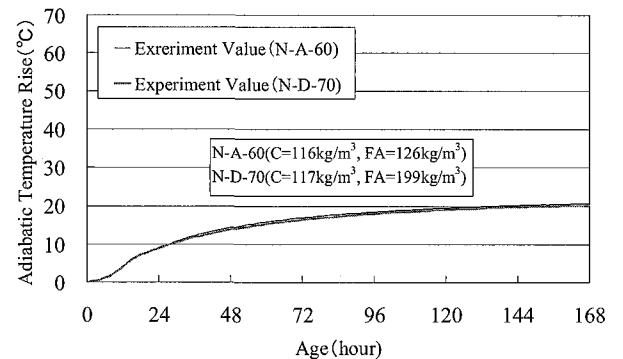


図-3 N-A-60 と N-D-70 の比較

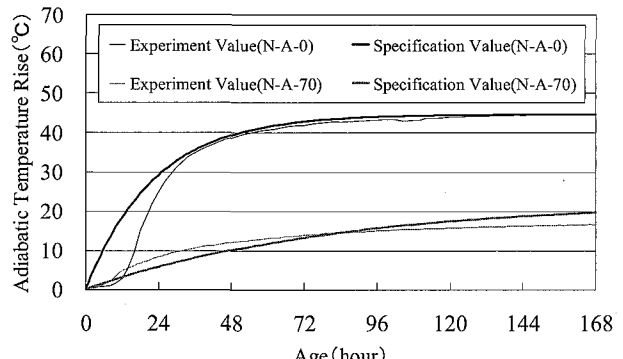


図-4 N を用いた HVFA コンクリートの断熱温度上昇量

$$Q(t) = Q_{\infty} \left(1 - e^{-\gamma t} \right) \quad (1)$$

$$Q_{\infty} = a \cdot C + b$$

$$\gamma = g \cdot C + h$$

ここで、 $Q(t)$: 材齢 t (min)における断熱温度上昇量 (°C)
 t : 材齢(min)

Q_{∞} : 終局断熱温度上昇量

γ : 温度上昇速度

C : 単位セメント量(kg/m³)

a, b, g, h : 本研究での実験値